

УДК 535.853.3

## ДВОЙНОЙ МОНОХРОМАТОР С НЕКЛАССИЧЕСКИМИ ВОГНУТЫМИ ДИФРАКЦИОННЫМИ РЕШЕТКАМИ

Г. П. Старцев и А. В. Савушкин

Предложена простая оптическая схема двойного монохроматора с вогнутыми дифракционными решетками нового типа. Рассмотрены различные варианты оптимизации схемы с использованием вогнутых решеток с переменным шагом нарезки, изменяющимся по линейному закону, и голографических решеток. Определены параметры схемы, при которых качество изображения спектра получается наилучшим.

Широкими возможностями компенсации aberrаций обладают неклассические вогнутые дифракционные решетки с переменным шагом или с искривленными штрихами, а также голографические решетки различных типов [1, 2]. Применение неклассических вогнутых решеток позволяет построить новые приборы с упрощенными оптическими и кинематическими схемами [3, 4]. В качестве примера рассмотрим оптическую схему двойного

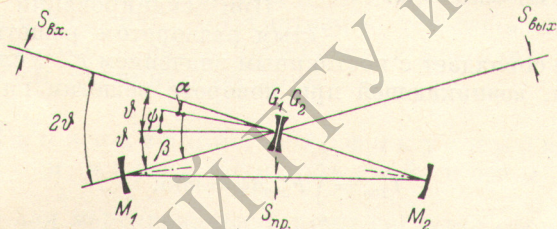


Рис. 1. Оптическая схема двойного монохроматора.

$G_1$  и  $G_2$  — вогнутые дифракционные решетки;  $S_{bx.}$ ,  $S_{vых.}$  и  $S_{np.}$  — входная, выходная и промежуточная щели;  $M_1$  и  $M_2$  — зеркала.

монохроматора с неклассической решеткой, представленную на рис. 1 [5]. Вогнутые решетки  $G_1$  и  $G_2$  расположены на одном поворотном столике, что обеспечивает синхронность их поворота при сканировании спектра. Входная  $S_{bx.}$ , выходная  $S_{vых.}$  и промежуточная  $S_{np.}$  щели неподвижны. Число отражающих поверхностей невелико: кроме двух решеток имеется два зеркала  $M_1$  и  $M_2$ . Схема обеспечивает сложение дисперсий обеих решеток.

Для определения параметров схемы и решеток рассмотрим простой монохроматор и воспользуемся функцией  $F$  оптического пути вогнутой решетки [1, 6, 7]

$$F = \sum_{ijk} F_{ijk} Y^i Z^j, \quad (1)$$

где  $F_{ijk}$  — члены разложения функции оптического пути по степеням  $i$ ,  $j$  координат  $Y$  и  $Z$  точки падения луча на поверхность решетки (ось  $X$  совпадает с нормалью в вершине решетки). Возможны несколько случаев оптимизации параметров схемы.

## Минимизация расфокусировки по трем параметрам схемы

Для простого монохроматора с неподвижными щелями справедливы соотношения  $r, r' = \text{const}$ ,  $2\vartheta = \alpha - \beta = \text{const}$ ,  $\alpha = \vartheta + \phi$ ,  $\beta = -\vartheta + \phi$ , где  $r$  — расстояние от центра входной щели до вершины решетки,  $r'$  — расстояние от вершины решетки до центра выходной щели,  $2\vartheta$  — угол отклонения,  $\alpha$  и  $\beta$  — углы падения и дифракции,  $\phi$  — угол между биссектрисой угла отклонения и нормалью к решетке. С целью уменьшения астигматизма угол отклонения  $2\vartheta$  выбираем малым, а расфокусировку, возникающую при сканировании спектра, уменьшаем благодаря оптимальному выбору параметров схемы и решетки.

Выражение для фокусировки лучей, идущих в меридиональной плоскости, как для голограммической решетки, так и для решетки с переменным шагом нарезки имеет вид

$$F_{200} = \rho \cos^2 \alpha + \rho' \cos^2 \beta - (\cos \alpha + \cos \beta) + A_{200} (\sin \alpha + \sin \beta) = 0, \quad (2)$$

где  $\rho = R/r$ ,  $\rho' = R/r'$ ,  $R$  — радиус кривизны решетки,  $r'$  — расстояние от вершины решетки до изображения входной щели,  $A_{200} = (\rho_c \cos^2 \gamma - \rho_d \cos^2 \delta + \cos \delta - \cos \gamma)(\sin \delta - \sin \gamma)^{-1}$  для голограммической решетки. Величина  $A_{200}$  определяется параметрами записи решетки  $\rho_c = R/l_c$ ,  $\gamma$ ,  $\rho_d = R/l_d$  и  $\delta$  (рис. 2),  $A_{200} = \mu R$  для решетки с переменным шагом нарезки, изменяющимся по линейному закону:  $a = a_0 (1 + \mu Y)$ , где  $a_0$  — расстояние между соседними штрихами в вершине решетки (при  $Y=0$ ) [1].

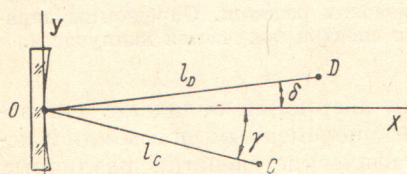


Рис. 2. Схема записи голограммической решетки.

$C$  и  $D$  — точечные источники света.

изменяется и не совпадает с постоянным значением  $r'$ . Условие минимума расфокусировки, возникающей при повороте решетки на углы от  $\psi_1$  до  $\psi_2$ , имеет вид

$$I_{200} = \int_{\psi_1}^{\psi_2} F_{200}^2 d\psi = \min, \quad (3)$$

где  $F_{200} = 0$  представляет собой выражение (2) с фиксированными значениями  $\rho$  и  $\rho'$ .

Потребовав обращения в нуль частных производных от  $I_{200}$ , по исковым параметрам схемы ( $\rho$ ,  $\rho'$ ,  $A_{200}$ ) получим уравнения, позволяющие найти наилучшие в указанном смысле значения этих параметров

$$\frac{\partial I_{200}}{\partial \rho} = 0, \quad \frac{\partial I_{200}}{\partial \rho'} = 0, \quad \frac{\partial I_{200}}{\partial A_{200}} = 0. \quad (4)$$

Система уравнений (4) была решена для угла отклонения  $2\vartheta = 16^\circ$ , области спектра  $\lambda = 400-800$  нм, решетки с  $N = 600$  штр/мм, работающей в  $m = -1$  порядке. Оптимальные параметры схемы  $\rho = -4.731811$ ,  $\rho' = -6.741086$  и  $A_{200} = -1.684015$ . Отрицательное значение  $\rho$  указывает на то, что решетка должна устанавливаться в сходящемсяся пучке лучей, для чего необходимо дополнительное зеркало. В этом случае условие фокусировки выполняется с высокой точностью во всем диапазоне сканирования спектра, что проиллюстрировано в табл. 1 для решетки с  $R = 3000$  мм.

Рассмотрим качество изображения спектра, даваемое вогнутой сферической решеткой с переменным шагом нарезки, изменяющимся по линейному закону, считая, что сходящийся пучок, падающий на решетку, является гомоцентрическим. Такой пучок может быть получен с помощью эллипсоидального зеркала. Результаты точного расчета хода лучей, иду-

Таблица 1

$\psi^\circ$	$r', \text{ мм}$	$\psi^\circ$	$r', \text{ мм}$	$\psi^\circ$	$r', \text{ мм}$
-6.960	445.020	-9	445.038	-12	445.026
-7.7	445.032	-10	445.035	-13.2	445.032
-8	445.034	-11	445.030	-14.026	445.045

Таблица 2

$y$	$z$	$\lambda = 400 \text{ нм}$	$\lambda = 600 \text{ нм}$	$\lambda = 800 \text{ нм}$
		$\delta y', \text{ мм}$	$\delta y', \text{ мм}$	$\delta y', \text{ мм}$
25		-0.435	-0.615	-0.788
15		-0.157	-0.222	-0.286
0	0	0	0	0
-15		-0.162	-0.227	-0.291
-25		-0.452	-0.636	-0.817

щих в меридиональной плоскости из центральной точки входной щели, приведены в табл. 2. Методика расчета описана в [8].

Такое низкое качество изображения обусловлено большой величиной меридиональной комы. Причем, если в простом монохроматоре для одной длины волны кома может быть скомпенсирована соответствующим выбором угла падения на зеркало, то в двойном монохроматоре накладывается дополнительная связь на выбор этого угла, а именно он равен одной четвертой от угла отклонения. Астигматизм в этой схеме мал. Коэффициент астигматизма первого порядка изменяется в пределах  $K=0.006-0.013$ . Далее произведем минимизацию комы.

### Минимизация расфокусировки и меридиональной комы

Выражение для меридиональной комы вогнутой сферической решетки с переменным шагом, изменяющимся по линейному закону, имеет вид

$$F_{300} = \rho \sin \alpha \cos \alpha (1 - \rho \cos \alpha) + \rho' \sin \beta \cos \beta (1 - \rho' \cos \beta) - \\ - (2/3) A_{200}^2 (\sin \alpha + \sin \beta) = 0. \quad (5)$$

Минимальная кома во всем диапазоне сканирования определяется из условия

$$Y_{300} = \int_{\psi_1}^{\psi_2} F_{300}^2 d\psi = \min. \quad (6)$$

Минимизируем кому по одному из параметров схемы, например по  $\rho$ . Тогда оптимальные параметры схемы могут быть найдены решением следующей системы уравнений:

$$\frac{\partial I_{200}}{\partial \rho'} = 0, \quad \frac{\partial I_{200}}{\partial A_{200}} = 0, \quad \frac{\partial I_{300}}{\partial \rho} = 0. \quad (7)$$

Решение системы уравнений (7) для вышеуказанных исходных данных дает следующие параметры схемы:  $\rho=0.953490$ ,  $\rho'=1.037161$ ,  $A_{200}=-0.177368$ . При радиусе решетки  $R=500 \text{ мм}$  остаточная дефокусировка, как видно из табл. 3, значительно больше, чем в первом случае, но по

Таблица 3

$\psi^\circ$	$r', \text{ мм}$
-6.960	481.016
-8.45	482.088
-10.50	482.633
-12.52	482.086
-14.026	480.735

абсолютной величине мала, и, как показывает точный расчет хода лучей, приведенный в табл. 4, поперечные составляющие aberrаций значительно меньше. Астигматизм возрос, но по абсолютной величине остался невелик:  $K=0.024-0.067$ . Расчет произведен для точек с максимальной остаточной дефокусировкой ( $\lambda=400, 600, 800$  нм) и точек, где она отсутствует ( $\lambda=-485, 715$  нм).

Таблица 4

Y	Z	$\lambda, \text{ нм}$				
		400	485	600	715	800
$\delta Y', \text{ мм}$						
25	)	0.040	-0.009	-0.029	0.007	0.069
15		0.028	-0.003	-0.017	0.003	0.038
0	0	0	0	0	0	0
-15		-0.037	-0.003	0.016	0.004	-0.026
-25		-0.066	-0.007	0.027	0.010	-0.036

Симметричная схема  
двойного монохроматора

Оптическую схему двойного монохроматора можно упростить, если составить ее из двух симметричных простых монохроматоров. Тогда вогнутые зеркала  $M_1$  и  $M_2$  можно заменить на плоские (рис. 1). Параметры схемы определяются из системы уравнений

$$\frac{\partial I_{200}}{\partial \bar{\rho}'} = 0, \quad \frac{\partial I_{200}}{\partial A_{200}} = 0, \quad \rho = \bar{\rho}'.$$
 (8)

Решение системы уравнений (8) для рассматриваемых исходных данных дает следующие параметры схемы:  $\rho = \bar{\rho}' = 0.995256$ ,  $A_{200} = -0.166305$ . Здесь остаточная дефокусировка такая же, как в предыдущем случае. Незначительное увеличение комы практически не оказывается на качестве изображения спектра, так как оно определяется величиной остаточной расфокусировки. В табл. 5 приведены результаты точного расчета хода лучей в данной схеме с решеткой  $R=500$  мм.

Таблица 5

Y	Z	$\lambda, \text{ нм}$				
		400	485	600	715	800
$\delta y', \text{ мм}$						
25	)	0.065	0.013	-0.008	0.028	0.093
15		0.037	0.005	-0.010	0.010	0.047
0	0	0	0	0	0	0
-15		-0.030	0.005	0.025	0.011	-0.020
-25		-0.047	0.015	0.050	0.032	-0.017

Величина коэффициента астигматизма остается прежней:  $K=0.025-0.069$ .

Использование голограммической решетки

Вернемся к рассмотрению оптической схемы, параметры которой  $\rho$  и  $\bar{\rho}'$ , а также неравномерность шага решетки определены решением системы уравнений (4). Условия фокусировки в ней выполняются с высокой

точностью во всем диапазоне сканирования спектра. Меридиональная кома, дающая основной вклад в поперечные aberrации, может быть уменьшена применением голограммической решетки с надлежащими параметрами записи. Нахождение оптимальных параметров записи решетки далее сделано по методике, предложенной в [9], с учетом замечаний, высказанных в [2].

Выражение для меридиональной комы голограммической сферической решетки имеет вид

$$F_{300} = \rho \sin \alpha \cos \alpha (\rho \cos \alpha - 1) + \rho' \sin \beta \cos \beta (\rho' \cos \beta - 1) + A_{300} (\sin \alpha + \sin \beta) = 0, \quad (9)$$

где

$$A_{300} = [\rho_C \sin \gamma \cos \gamma (\rho_C \cos \gamma - 1) - \rho_D \sin \delta \cos \delta (\rho_D \cos \delta - 1)] (\sin \delta - \sin \gamma)^{-1}.$$

Тогда оптимальное значение  $A_{300}$  находится из уравнения

$$\frac{\partial I_{300}}{\partial A_{300}} = 0, \text{ где } I_{300} = \int_{\psi_1}^{\psi_2} \bar{F}_{300}^2 d\psi, \quad (10)$$

а  $\bar{F}_{300}$  представляет собой выражение (9) с фиксированными значениями  $\rho$  и  $\rho'$ .

Минимизируем также астигматизм. Член, выражающий условие фокусировки лучей, идущих в сагиттальной плоскости, имеет вид

$$F_{020} = \rho - \cos \alpha + \rho' - \cos \beta + A_{020} (\sin \alpha + \sin \beta) = 0, \quad (11)$$

где  $A_{020} = (\rho_C - \cos \gamma - \rho_D + \cos \delta) (\sin \delta - \sin \gamma)^{-1}$ . Тогда значение  $A_{020}$ , при котором астигматизм будет минимальен во всей рабочей области спектра, находится из уравнения

$$\frac{\partial I_{020}}{\partial A_{020}} = 0, \text{ где } I_{020} = \int_{\psi_1}^{\psi_2} \bar{F}_{020}^2 d\psi, \quad (12)$$

а  $\bar{F}_{020}$  представляет выражение (11) с фиксированными значениями  $\rho$  и  $\rho'$ .

Оптимальные параметры записи голограммической решетки находятся решением следующей системы уравнений:

$$\left. \begin{aligned} \sin \delta - \sin \gamma &= \lambda_0 / \sigma_0, \\ (\rho_C \cos \gamma - 1) \cos \gamma - (\rho_D \cos \delta - 1) \cos \delta &= (\lambda_0 / \sigma_0) A_{200}, \\ \rho_C - \cos \gamma - \rho_D + \cos \delta &= (\lambda_0 / \sigma_0) A_{020}, \\ \rho_C \sin \gamma \cos \gamma (\rho_C \cos \gamma - 1) - \rho_D \sin \delta \cos \delta (\rho_D \cos \delta - 1) &= (\lambda_0 / \sigma_0) A_{300}, \end{aligned} \right\} \quad (13)$$

где  $\lambda_0$  — длина волны записывающего лазера,  $\sigma_0$  — эффективная постоянная решетки, т. е. постоянная в вершине решетки (при  $Y=0$ ).

Используя решение системы уравнений (4), (10) и (12), решение системы (13) для  $\lambda_0=488$  нм дает два ряда корней:  $\gamma=-16.7485^\circ$ ,  $\rho_C=-6.557771$ ,  $\delta=0.2652^\circ$ ,  $\rho_D=6.548826$  и  $\gamma=1.1629^\circ$ ,  $\rho_C=-5.475428$ ,  $\delta=18.2459^\circ$ ,  $\rho_D=-5.576856$ . В первом случае заготовка решетки должна устанавливаться в расходящихся когерентных световых пучках, а во втором — в сходящихся. Результаты точного расчета хода лучей с решеткой, полученной в расходящихся пучках, приведены в табл. 6 (для схемы с  $R=3000$  мм,  $\rho=-4.731811$ ,  $\rho'=6.741086$ ). Методика расчета описана в [10, 11]. Здесь также решетка стоит в сходящемся гомоцентрическом пучке.

Сравнивая результаты расчетов, приведенных в табл. 2 и 6, можно заключить, что в данной схеме поперечные составляющие aberrаций для голограммической решетки в десятки раз меньше, чем для решетки с переменным шагом, изменяющимся по линейному закону. Астигматизм практически равен нулю во всей рабочей области спектра ( $K=0.0002-0.0005$ ). Данные табл. 4—6 показывают, что для краев и середины рабочего интервала длин волн поперечные составляющие aberrаций для голограммической

Таблица 6

Y	Z	$\lambda, \text{ нм}$				
		400	485	600	715	800
$\delta y', \text{ мм}$						
25		0.048	0.035	0.016	-0.010	-0.034
15		0.016	0.011	0.004	-0.005	-0.014
0	0	0	0	0	0	0
-15		0.013	0.008	0.001	-0.008	-0.016
-25		0.029	0.019	-0.001	-0.026	-0.047

Таблица 7

Y	Z	$\lambda, \text{ нм}$				
		400	485	600	715	800
$\delta y', \text{ мм}$						
25		0.026	0.004	-0.027	-0.003	0.050
15		0.036	0.001	-0.016	-0.001	0.031
0	0	0	0	0	0	0
-15		-0.032	0.002	0.047	-0.001	-0.037
-25		-0.051	0.004	0.030	-0.003	-0.064

решетки в два с лишним раза меньше, чем для решеток с переменным шагом в схемах, параметры которых определяются решением (7) или (8).

Вогнутую голограммическую решетку можно использовать и в симметричной схеме двойного монохроматора, параметры которой находятся решением системы (8). Оптимальные параметры записи голограммической решетки находятся аналогично рассмотренному выше случаю, т. е. из условий минимальных остаточных расфокусировок, астигматизма и мериодональной комы. В табл. 7 приведены результаты точного расчета хода лучей в симметричной схеме ( $\rho=\rho'=0.995256$ ,  $2\theta=16^\circ$ ,  $R=500$  мм) для решетки со следующими параметрами записи ( $\lambda_0=488$  нм):  $\gamma=-17.0640^\circ$ ,  $\rho_C=0.991240$ ,  $\delta=-0.0367$ ,  $\rho_D=0.998604$ .

Сравнение поперечных aberrаций, представленных в табл. 5 и 7, которые рассчитаны для симметричной схемы, показывает, что последние значительно меньше у голограммических решеток для длин волн  $\lambda=485$  и  $715$  нм, соответствующих точкам, в которых расфокусировка отсутствует. Для длин волн  $\lambda=400$ ,  $600$  и  $800$  нм поперечные составляющие aberrаций примерно одинаковы, так как в основном определяются остаточной расфокусировкой, одинаковой как для голограммической решетки, так и для решетки с переменным шагом нарезки. Астигматизм практически отсутствует:  $K=0.006-0.009$ .

#### Выводы

Рассмотрев различные варианты оптимизации оптической схемы двойного монохроматора с использованием неклассической вогнутой сферической дифракционной решетки, можно сделать вывод о том, что возможно построение простой с точки зрения оптики и кинематики схемы, причем, если использовать решетку с переменным шагом нарезки, изменяющимся по линейному закону, то параметры схемы должны определяться решением (8). Если использовать голограммическую решетку, то параметры схемы и решетки должны определяться из (4), (10), (12) и (13).

Реальную разрешающую способность можно приблизить к теоретической, если при сканировании спектра перемещать выходную щель двой-

ного монохроматора в пределах  $\pm 1.8$  мм. Тогда параметры схемы с решеткой с переменным шагом нарезки, изменяющимся по линейному закону, должны определяться из (7), а параметры схемы с голографической решеткой — из (8), а также из (10), (12) и (13).

Небольшое количество оптических деталей при применении высокотражающих покрытий дает возможность использовать предложенную схему для работы в области вакуумного ультрафиолета до 120—100 нм, лучшую концентрацию света в этой области спектра обеспечивают решетки, нарезаемые механически. Причем хорошее качество изображения спектра при неподвижных щелях может быть получено в схеме, параметры которой определяются решением (4) с вогнутой решеткой с переменным шагом нарезки, изменяющимся не по линейному закону.

#### Литература

- [1] И. В. Пейсахсон. Оптика спектральных приборов. «Машиностроение». Л., 1975.
- [2] Ю. В. Бажанов. Автореф. канд. дисс., Л., 1978.
- [3] D. Lereg. Nouv. Rev. d'Opt., 6, 173, 1975.
- [4] В. В. Афанасьев, А. В. Савушкин, Г. П. Старцев. Оптико-механич. промышл., № 6, 52, 1977.
- [5] А. В. Савушкин, Г. П. Старцев. Бюлл. изобр. № 12, Автор. свид. № 600401, 1978.
- [6] T. Namiooka. J. Opt. Soc. Am., 49, 446, 951, 1959.
- [7] H. Noda, T. Namiooka, M. Seya. J. Opt. Soc. Am., 64, 1031, 1974.
- [8] И. В. Пейсахсон, Л. А. Нестеренко. Ж. прикл. спектр., 24, 356, 1976.
- [9] H. Noda, T. Namiooka, M. Seya. J. Opt. Soc. Am., 64, 1043, 1974.
- [10] H. Noda, T. Namiooka, M. Seya. J. Opt. Soc. Am., 64, 1037, 1974.
- [11] Г. Г. Парцикая, В. Е. Медведев. Оптико-механич. промышл., № 3, 25, 1975.

Поступило в Редакцию 9 ноября 1978 г.